

Grafos invariantes y dinámica de una familia de aplicaciones lineales a trozos.

A. Cima, A. Gasull, F. Mañosas, Víctor Mañosa*

*Departament de Matemàtiques y Institut de Matemàtiques IMTech
Universitat Politècnica de Catalunya.

Workshop on Dynamical Systems
Universitat de Lleida, 11-12 de Enero de 2024.

Dedicado al Profesor Jaume Giné en ocasión de su 60 aniversario.

Cima, Gasull, Mañosas, M. *Invariant graphs and dynamics of a family of piecewise continuous.* En preparación.

Jaume, es un placer poder venir a celebrar contigo esta parte del camino que hemos recorrido juntos.

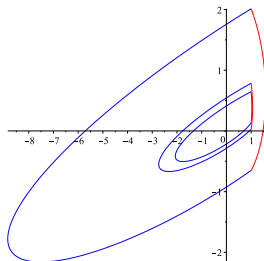
Muchas gracias por darnos esta oportunidad de volver a estar juntos con compañeros estimados.



Algunos de nosotros, con Jaume, en Almagro la primavera del año 2000.

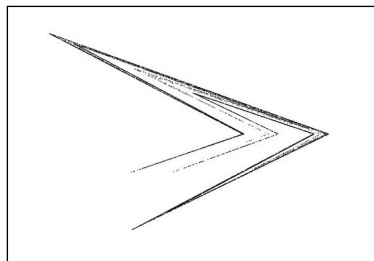
Todos nosotros somos conscientes de la importancia de los *sistemas dinámicos continuos* a trozos.

Entre otros problemas, se intenta ver el máximo número de ciclos límite.



Gasull, M. Periodic orbits of discrete and continuous dynamical systems via Poincaré-Miranda theorem. DCDS-B.

En el caso de *sistemas discretos* las dinámicas pueden ser extremadamente complejas.



Atractor extraño para la *Aplicación de Lozi* (1978)

$$F(x, y) = (1 - \alpha|x| + y, \beta y)$$

En los últimos dos años hemos estudiado esta familia de SDD a trozos:

$$F(x, y) = (|x| - y + a, x - |y| + b),$$

con $(a, b) \in \mathbb{R}^2$.

Cima, Gasull, Mañosa, Mañosas. Invariant graphs and dynamics of a family of piecewise continuous maps. En preparación (2024).

Observemos que en cada cuadrante Q_i la aplicación F viene descrita por una aplicación lineal.

$$Q_1 = \{(x, y) : x \geq 0, y \geq 0\}, \quad F_1(x, y) = (x - y + a, x - y + b),$$

$$Q_2 = \{(x, y) : x \leq 0, y \geq 0\}, \quad F_2(x, y) = (-x - y + a, x - y + b),$$

$$Q_3 = \{(x, y) : x \leq 0, y \leq 0\}, \quad F_3(x, y) = (-x - y + a, x + y + b),$$

$$Q_4 = \{(x, y) : x \geq 0, y \leq 0\}, \quad F_4(x, y) = (x - y + a, x + y + b).$$

Usando la conjugación dada por:

$$\lambda F_{a,b}(x/\lambda, y/\lambda) = F_{\lambda a, \lambda b}(x, y),$$

podemos considerar los casos $a \in \{-1, 0, 1\}$.

Para $a \geq 0$ la dinámica es pre-periódica:

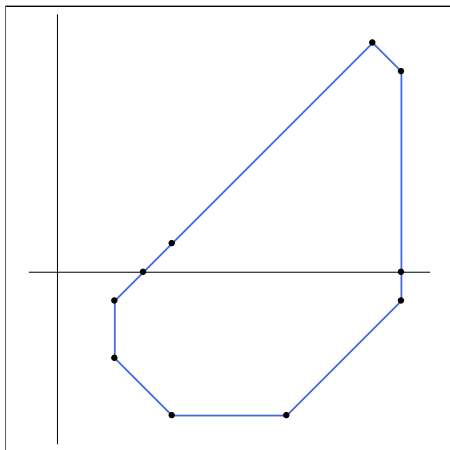
Teorema A

Si $a \geq 0$ entonces para todo $\mathbf{x} \in \mathbb{R}^2$ existe $n \geq 0$ (que depende de \mathbf{x}) tal que $F^n(\mathbf{x}) \in \text{Per}(F)$, donde $\text{Per}(F)$ es el conjunto de puntos periódicos de F . Además, el conjunto $\text{Per}(F)$ tiene cardinalidad finita.

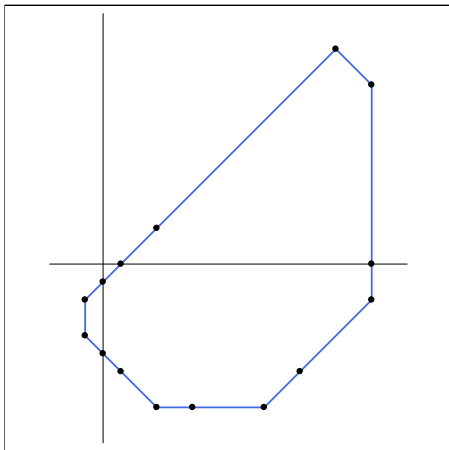
Los casos interesantes, dinámicamente, se presentan para $a = -1$

Teorema B

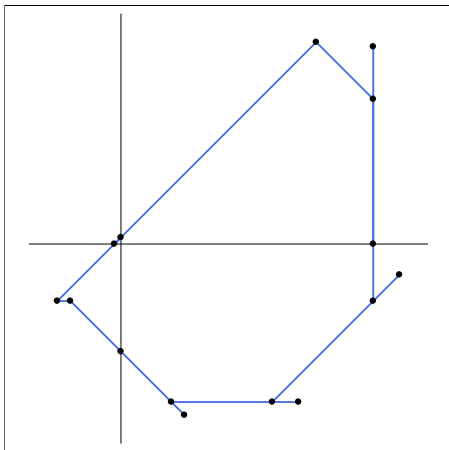
Sea $a = -1$. Para todo $b \in \mathbb{R}$ existe un grafo compacto Γ (que depende de b) que es invariante bajo la aplicación F tal que para todo $\mathbf{x} = (x, y) \in \mathbb{R}^2$ existe $n_{\mathbf{x}} \in \mathbb{N}$ (que depende de \mathbf{x}) tal que $F^{n_{\mathbf{x}}}(x, y) \in \Gamma$.



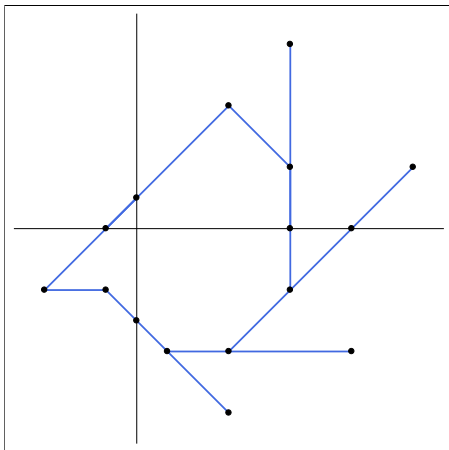
$$a = -1, -2 < b \leq -1$$



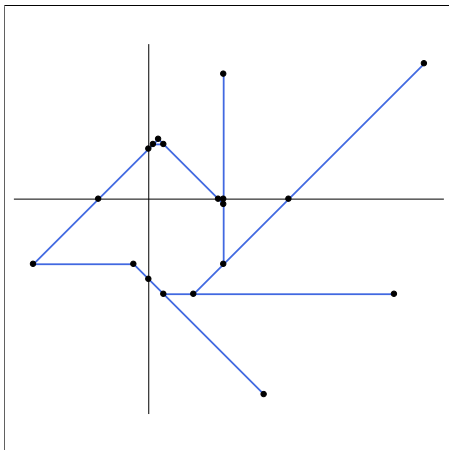
$$a = -1, -1 < b \leq -3/4$$



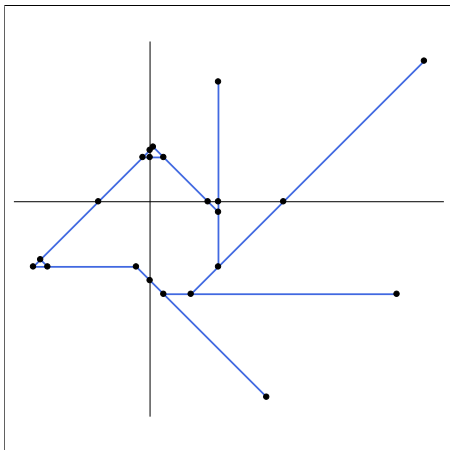
$$a = -1, -3/4 < b \leq -1/4$$



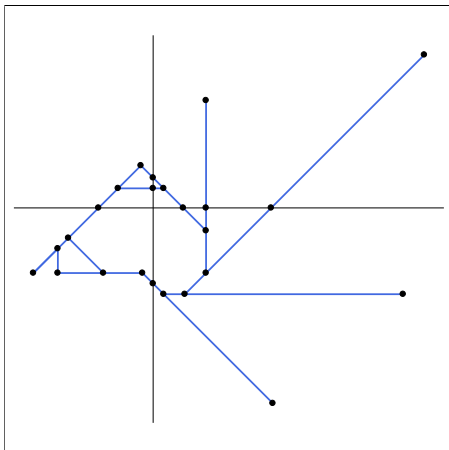
$$a = -1, -1/4 < b \leq -2/9$$



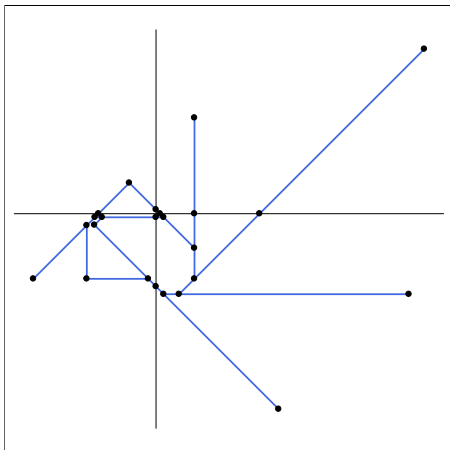
$$a = -1, -2/9 < b \leq -1/5$$



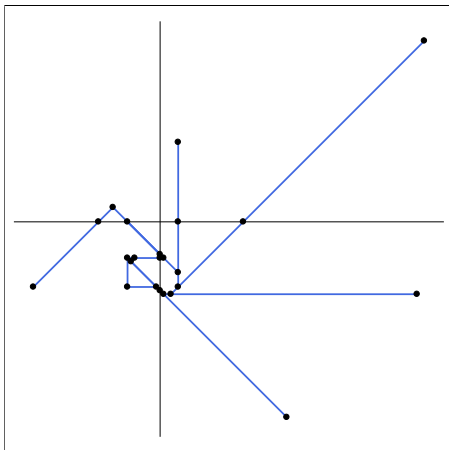
$$a = -1, -1/5 < b \leq -1/8$$



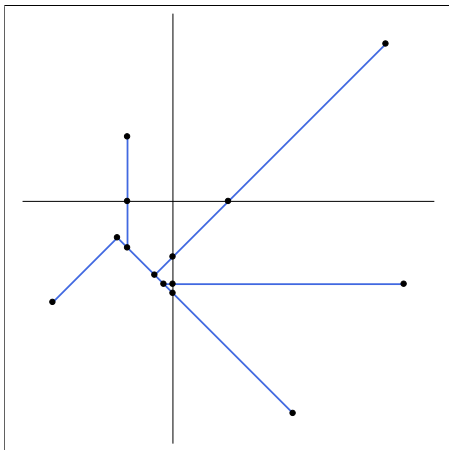
$$a = -1, -1/8 < b \leq -1/9$$



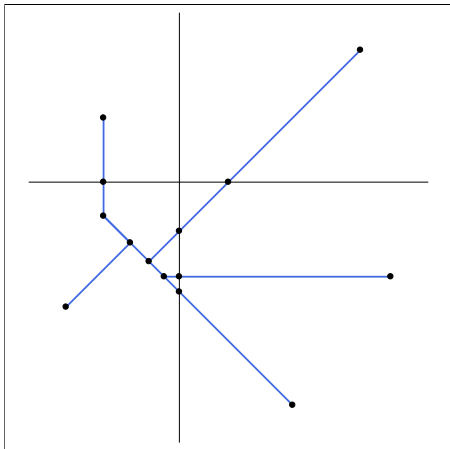
$$a = -1, -1/9 < b < 0$$



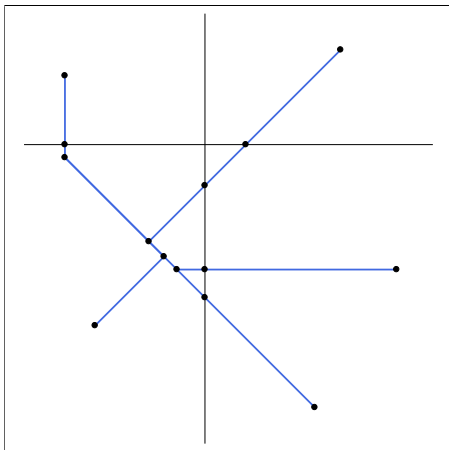
$$a = -1, 0 \leq b \leq 1/10$$



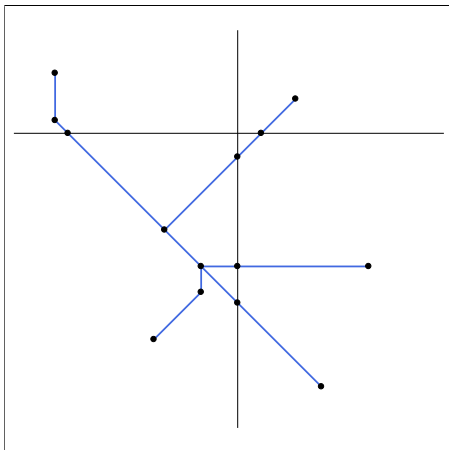
$$a = -1, \quad 1/10 < b \leq 1/7$$



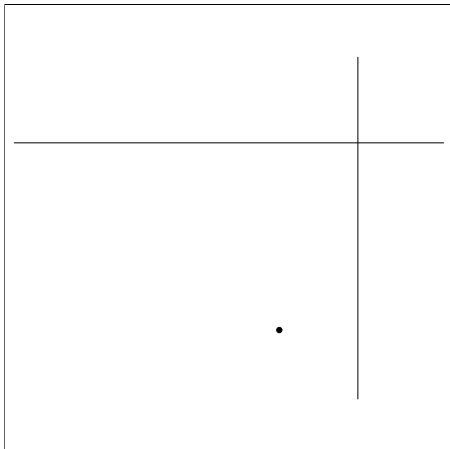
$$a = -1, 1/7 < b \leq 1/6$$



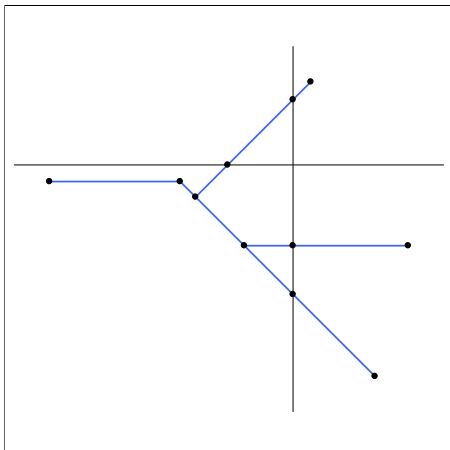
$$a = -1, 1/6 < b \leq 3/16$$



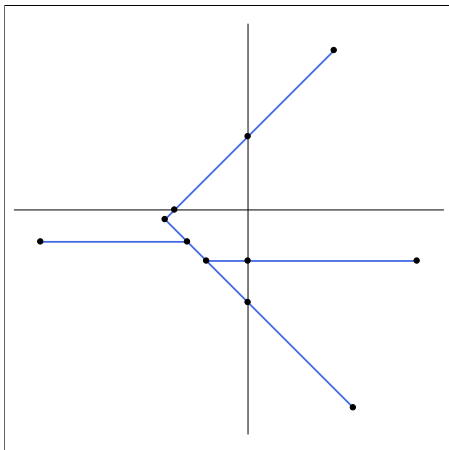
$$a = -1, \quad 3/16 < b < 4/15$$



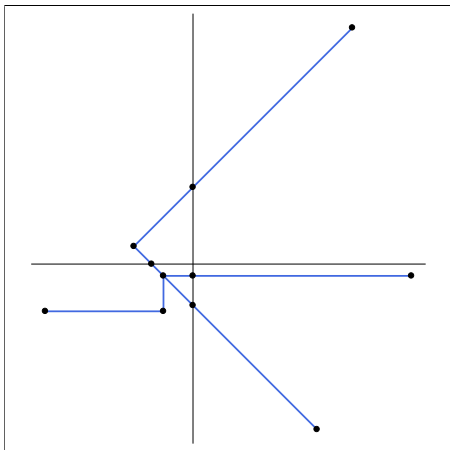
$$a = -1, 4/15 < b \leq 2/7$$



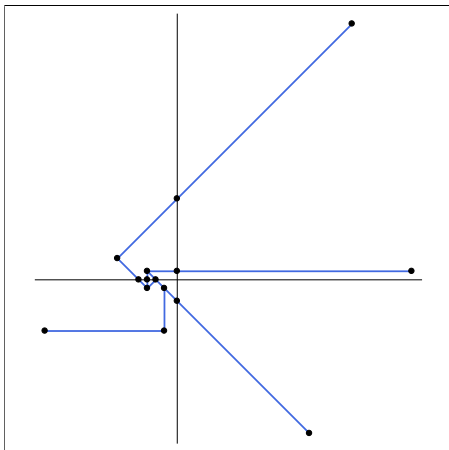
$$a = -1, 2/7 < b \leq 1/3$$



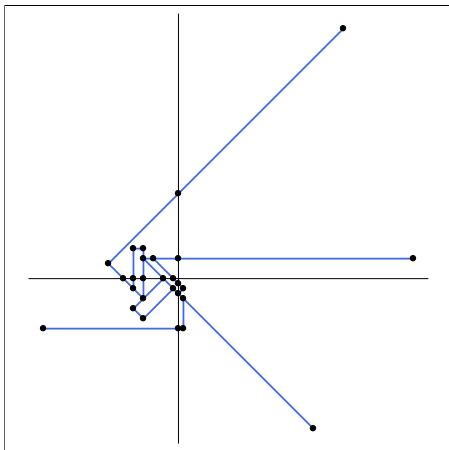
$$a = -1, 1/3 < b \leq 1/2$$



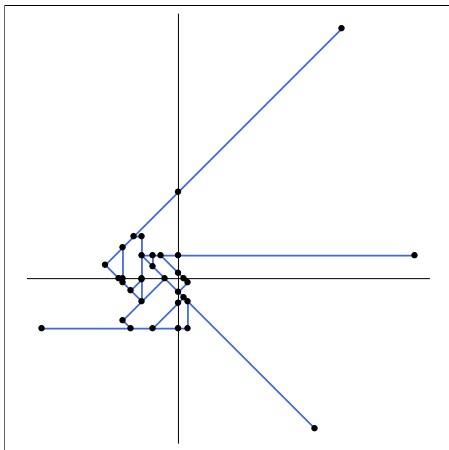
$$a = -1, 1/2 < b \leq 2/3$$



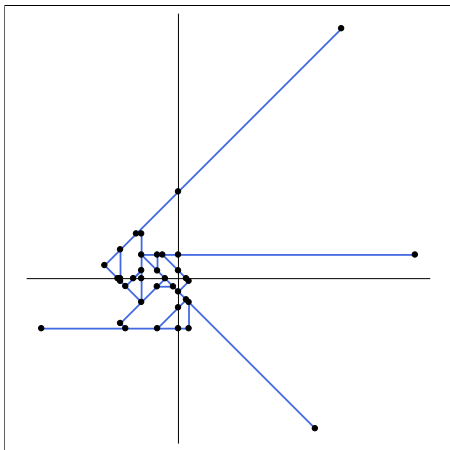
$$a = -1, \quad 2/3 < b \leq 5/7$$



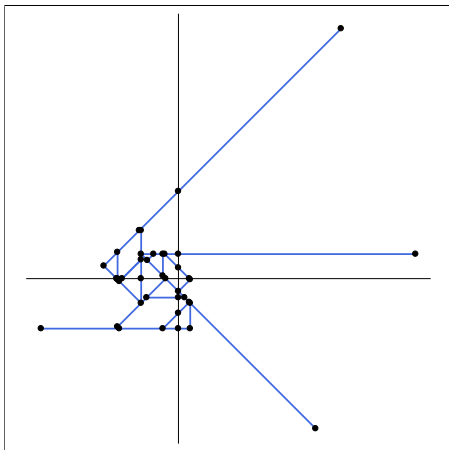
$$a = -1, 5/7 < b \leq 19/26$$



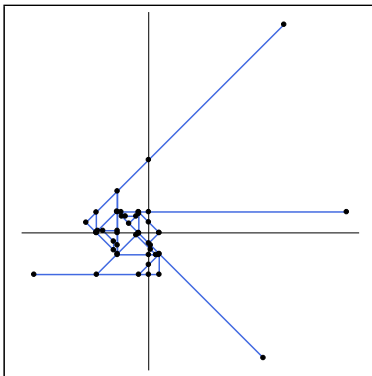
$$a = -1, 19/26 < b \leq 20/27$$



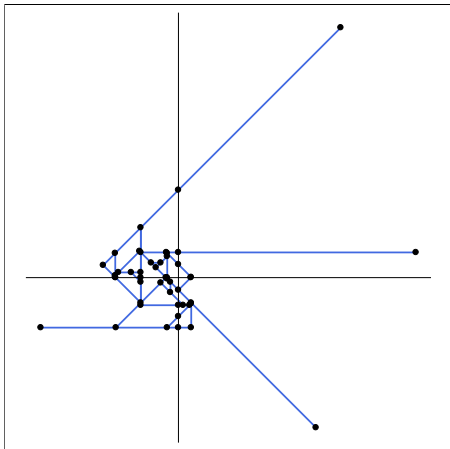
$$a = -1, 20/27 < b \leq 3/4$$



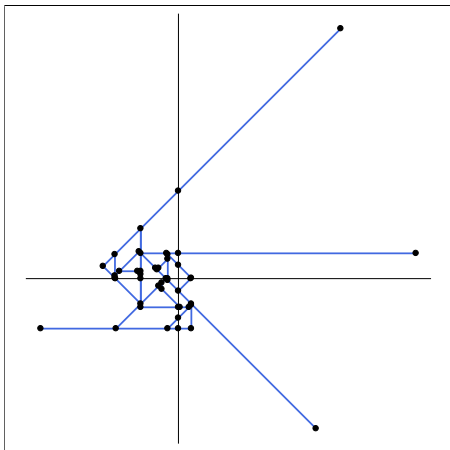
$$a = -1, \quad 3/4 < b \leq 154/205$$



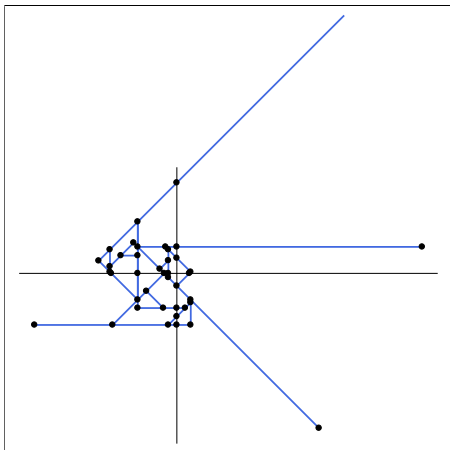
$$a = -1, 154/205 < b \leq 155/206$$



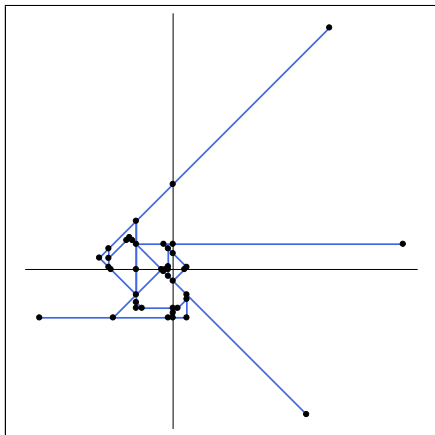
$$a = -1, 155/206 < b \leq 58/77$$



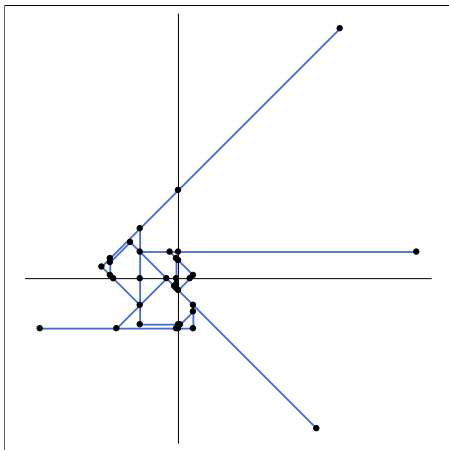
$$a = -1, 58/77 < b \leq 19/25$$



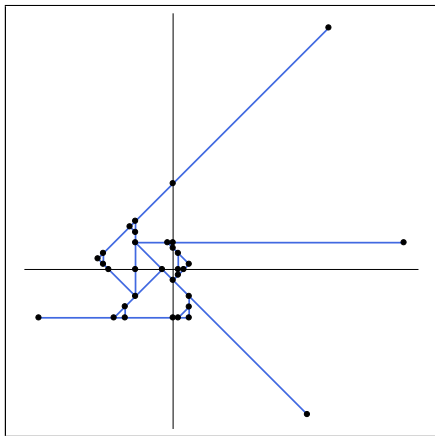
$$a = -1, 19/25 < b \leq 29/38$$



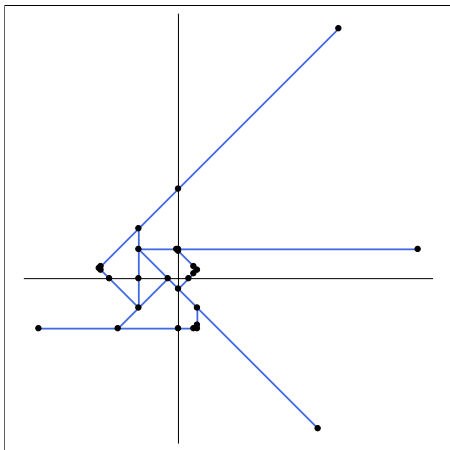
$$a = -1, 29/38 < b \leq 10/13$$



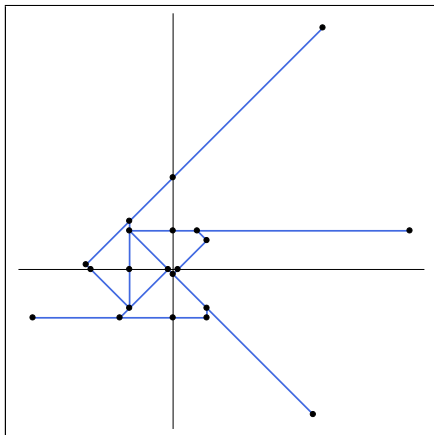
$$a = -1, 10/13 < b \leq 11/14$$



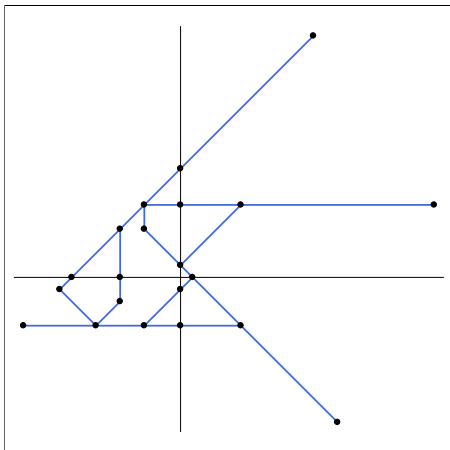
$$a = -1, 11/14 < b \leq 4/5$$



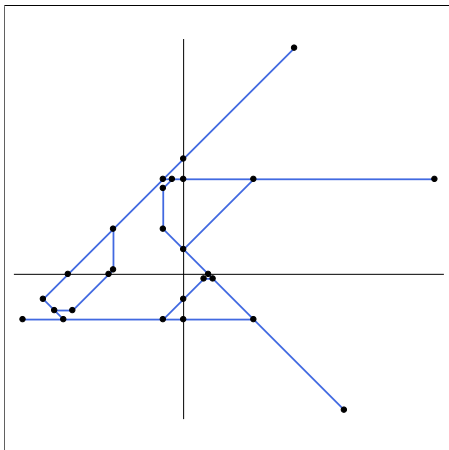
$$a = -1, 4/5 < b \leq 1$$



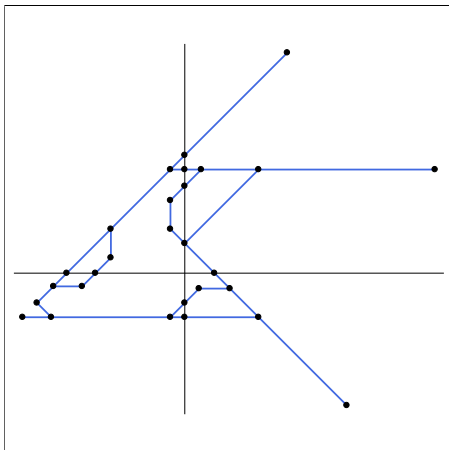
$$a = -1, 1 < b \leq 3/2$$



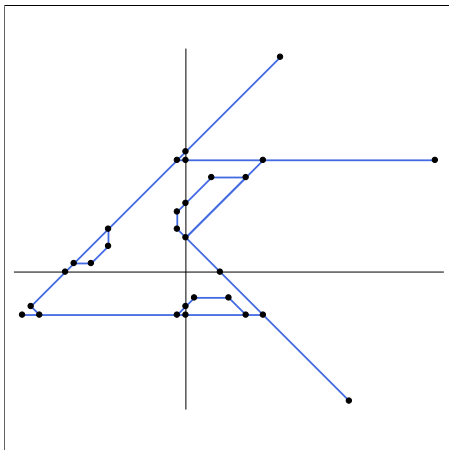
$$a = -1, \quad 3/2 < b \leq 8/5$$



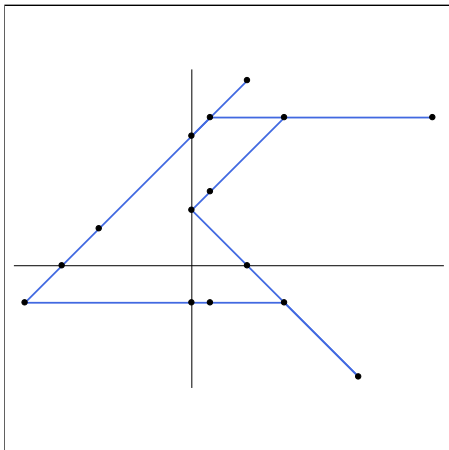
$$a = -1, \quad 8/5 < b \leq 7/4$$



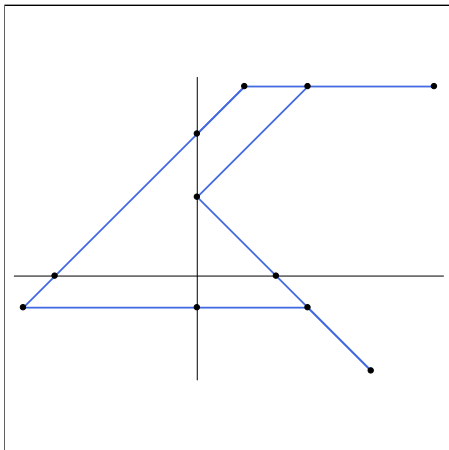
$$a = -1, 7/4 < b < 2$$



$$a = -1, 2 \leq b < 3$$



$$a = -1, b \geq 3$$



Para demostrar el **Teorema B** se debe:

1. Demostrar que para todo b las órbitas de todos los puntos de \mathbb{R}^2 alcanzan el algún momento el conjunto $Q_1 \cup Q_3$.

Proposición 1

Para $a = -1$ i $b \in \mathbb{R}$, la órbita de todo punto en $Q_2 \cup Q_4$ alcanza $Q_1 \cup Q_3$, excepto el punto fijo en Q_2 ($b > 1/2$); los puntos fijos en Q_4 , ($b < 0$); y una OP_3 en $Q_2 \cup Q_4$ ($3/4 < b < 2$).

2. Demostrar que para todo b , toda órbita con condiciones iniciales en $Q_1 \cup Q_3$ alcanza un grafo invariante Γ .

Previamente:

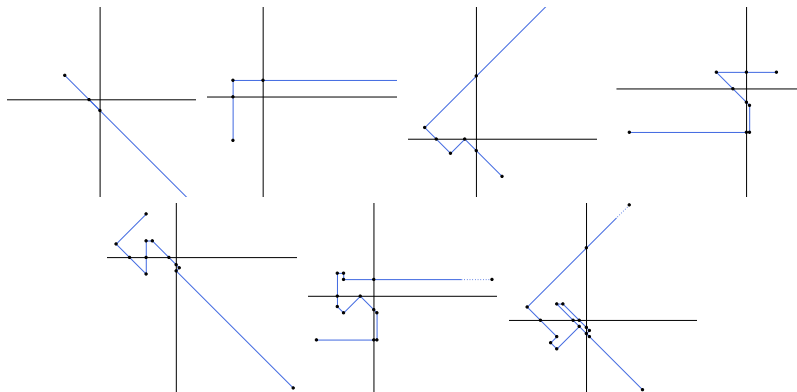
- 2.1 Hay que caracterizar el grafo Γ .
- 2.2 Hay que demostrar su invariancia.

Proposición 2

Sea $a = -1$, entonces:

- (a) Para todo $b \in \mathbb{R}$ existe un grafo compacto Γ invariante por F .
- (b) Para todo $b \in \mathbb{R}$ y para $(x, y) \in Q_1 \cup Q_3$ entonces $F^{11}(x, y) \in \Gamma$.

Proposición 2. Ejemplo: $a = -1$, $2/3 < b \leq 5/7$.

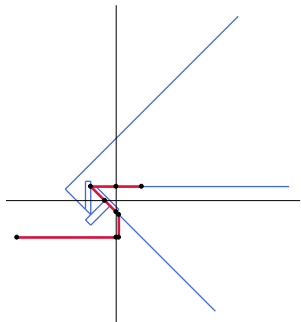
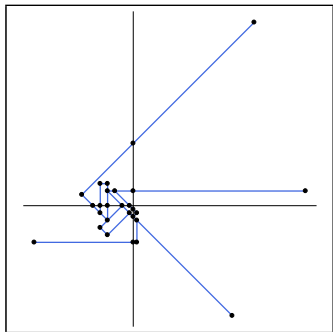


Iterados de Q_3 para $a = -1$ y $2/3 < b \leq 5/7$.

Observamos que los siguientes iterados permanecen en $\Gamma_4 \cup \Gamma_5 \cup \Gamma_6 \cup \Gamma_7$. Por tanto:

$$\Gamma = \Gamma_4 \cup \Gamma_5 \cup \Gamma_6 \cup \Gamma_7.$$

Ahora habría que comprobar que $\Gamma = \Gamma_4 \cup \Gamma_5 \cup \Gamma_6 \cup \Gamma_7$ es invariante.



Para $2/3 < b \leq 5/7$, obtenemos

$$F^4(Q_3) = \Gamma_4 \subset \Gamma.$$

Análogamente $F^5(Q_1) \subset \Gamma$

En general: sean N_1 y N_3 tales que $F^{N_1}(Q_1)$ y $F^{N_3}(Q_3)$ quedan contenidos en Γ :

	$b \leq -2$	$-2 < b \leq -1$	$-1 < b \leq -3/4$	$-3/4 < b \leq -1/4$
N_1	8	6	6	6
N_3	5	5	5	5
	$-1/4 < b \leq -2/9$	$-2/9 < b \leq -1/5$	$-1/5 < b \leq -1/8$	$-1/8 < b \leq -1/9$
N_1	5	5	5	5
N_3	4	4	4	4
	$-1/9 < b < 0$	$0 \leq b \leq 1/10$	$1/10 < b \leq 1/7$	$1/7 < b \leq 1/6$
N_1	5	6	6	6
N_3	4	4	4	4
	$1/6 < b \leq 3/16$	$3/16 < b < 4/15$	$4/15 \leq b \leq 2/7$	$2/7 < b \leq 1/3$
N_1	6	11	6	6
N_3	4	4	4	4

	$1/3 < b \leq 1/2$	$1/2 < b \leq 2/3$	$2/3 < b \leq 5/7$	$5/7 < b \leq 19/26$
N_1	6	6	5	5
N_3	4	4	4	4
	$19/26 < b \leq 20/27$	$20/27 < b \leq 3/4$	$3/4 < b \leq 154/205$	$154/205 < b \leq 155/206$
N_1	5	5	5	5
N_3	4	4	4	4
	$154/206 < b \leq 58/77$	$58/77 < b \leq 19/25$	$19/25 < b \leq 29/38$	$29/38 < b \leq 10/13$
N_1	5	5	5	5
N_3	4	4	4	4
	$10/13 < b \leq 11/14$	$11/14 < b \leq 4/5$	$4/5 < b \leq 1$	$1 < b \leq 3/2$
N_1	5	5	5	5
N_3	4	4	4	4
	$3/2 < b \leq 8/5$	$8/5 < b \leq 7/4$	$7/4 < b < 2$	$2 \leq b < 3$ and $3 \leq b$
N_1	5	5	5	5
N_3	4	4	5	5

Sin entrar en los casos específicos, una visión global de la dinámica que podemos encontrar vendría dada por este resultado:

Teorema C

Consideremos $a = -1$. Para cada $b \in \mathbb{R}$ consideramos la aplicación F restringida al grafo invariante correspondiente Γ . Entonces

- (a) Para $b \in (-\infty, -112/137] \cup [-1/36, 603/874] \cup \{1\} \cup [8, \infty)$ la aplicación $F|_{\Gamma}$ tiene **entropía topológica cero**.
- (b) Para $b \in [-111/136, -1/36) \cup [4804/6963, 1) \cup (1, 8)$ tiene **entropía topológica positiva**.
- (c) Para $b \in (-112/137, -111/136)$ y $b \in (603/874, 4804/6963)$ hay una **transición** de entropía cero a entropía positiva.

Tenemos una descripción más detallada del apartado (c). Por razones de tiempo me voy a centrar a dar una cierta visión de las técnicas que usamos para demostrar los apartados (a) y (b).

Una partición finita de Γ , $\mathcal{P} = \{I_1, \dots, I_n\}$ es una *monopartición* si $F(I_i)$ es un intervalo y $F|_{I_i}$ es continua y monótona para todo $i \in \{1, \dots, n\}$.

El *itinerario de longitud m de x* es la secuencia de símbolos

$$I_m(x) = A(x)A(f(x)) \dots A(f^{m-1}(x)).$$

Sea $N(F, \mathcal{P}, m)$ el número de itinerarios diferentes de longitud m .

Lema (definición de la Entropía topológica)

Sea $F : \Gamma \rightarrow \Gamma$ una aplicación monótona por partes en un grafo compacto G . Sea \mathcal{P} una monopartición. Entonces llamamos *número de crecimiento* de F a $s(F) := \lim_m \sqrt[m]{N(F, \mathcal{P}, m)}$ que existe y es independiente de la monopartición \mathcal{P} , y

$$h(F) := \ln \left(\lim_m \sqrt[m]{N(F, \mathcal{P}, m)} \right),$$

es la *entropía topológica* de F .

Partición de Markov

\mathcal{P} es *partición de Markov* si para todos $I \in \mathcal{P}$ $F(I)$ es la unión de algunos elementos de \mathcal{P} .

Si $F : \Gamma \rightarrow \Gamma$ y $\mathcal{P} = \{I_1, \dots, I_n\}$ es una *monopartición*. La *matriz* $M(F, \mathcal{P})$ asociada a \mathcal{P} es

$$m_{i,j} = \begin{cases} 1, & \text{si } I_j \subset f(I_i); \\ 0, & \text{en caso contrario.} \end{cases}$$

Denotamos por $r(\mathcal{P})$ al radio espectral. Del Teorema de Perron-Frobenius sabemos que el radio espectral se alcanza en un valor propio real positivo.

Lema

Sea $F : \Gamma \rightarrow \Gamma$ una aplicación monótona por partes en un grafo compacto y sea $\mathcal{P} = \{I_1, \dots, I_n\}$ una monopartición. Entonces

$$r(\mathcal{P}) \leq s(F).$$

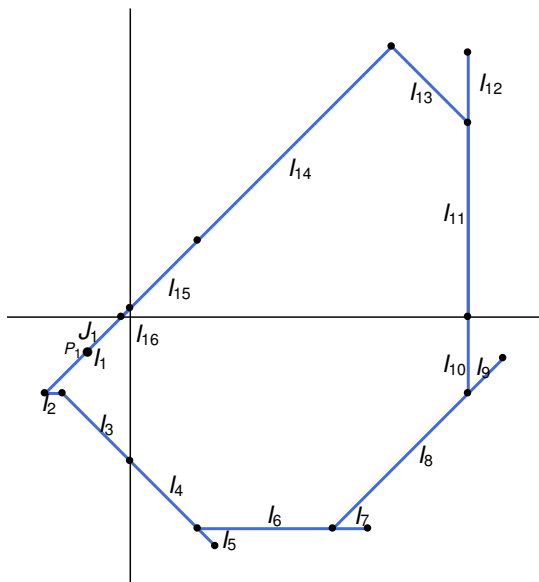
Además, si \mathcal{P} es Markov, entonces $r(\mathcal{P}) = s(F)$.

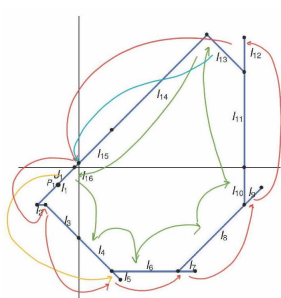
Por lo tanto, para matrices de Markov

$$h(F) = \ln(r(\mathcal{P})),$$

donde $r(\mathcal{P})$ es el radio espectral.

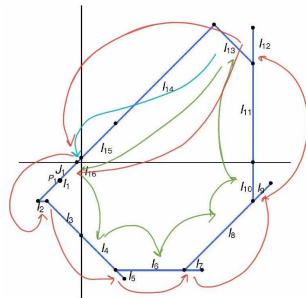
Se dan distintas dinámicas para un mismo grafo. Ejemplo: $a = -1$, $-1 < b \leq -3/4$





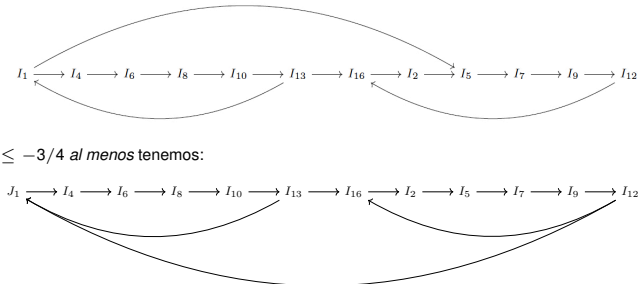
$$-1 < b \leq -7/8$$

Para $-1 < b \leq -7/8$

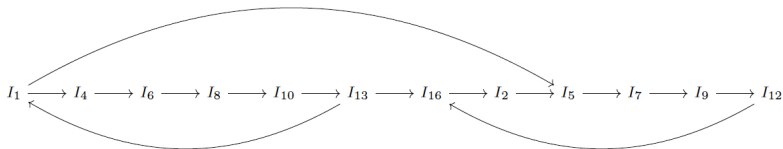


$$-7/9 \leq b \leq -3/4$$

Para $-7/9 \leq b \leq -3/4$ al menos tenemos:



Para $-1 < b \leq -7/8$ tenemos “menos dinámica” que para $b = -7/8$. En ese caso:



y la matriz de Markov:

$$M(F, \mathcal{P}) = \begin{pmatrix} 0 & 0 & 0 & 0 & 0 & 0 & 0 & 0 & 0 & 0 & 1 & 0 \\ 0 & 0 & 0 & 0 & 0 & 0 & 0 & 0 & 0 & 0 & 0 & 1 \\ 1 & 0 & 0 & 0 & 0 & 0 & 0 & 0 & 0 & 0 & 0 & 0 \\ 1 & 1 & 0 & 0 & 0 & 0 & 0 & 0 & 0 & 0 & 0 & 0 \\ 0 & 0 & 1 & 0 & 0 & 0 & 0 & 0 & 0 & 0 & 0 & 0 \\ 0 & 0 & 0 & 1 & 0 & 0 & 0 & 0 & 0 & 0 & 0 & 0 \\ 0 & 0 & 0 & 0 & 1 & 0 & 0 & 0 & 0 & 0 & 0 & 0 \\ 0 & 0 & 0 & 0 & 0 & 1 & 0 & 0 & 0 & 0 & 0 & 0 \\ 0 & 0 & 0 & 0 & 0 & 0 & 1 & 0 & 0 & 0 & 0 & 0 \\ 0 & 0 & 0 & 0 & 0 & 0 & 0 & 1 & 0 & 0 & 0 & 0 \\ 0 & 0 & 0 & 0 & 0 & 0 & 0 & 0 & 1 & 0 & 0 & 0 \\ 0 & 0 & 0 & 0 & 0 & 0 & 0 & 0 & 0 & 1 & 1 & 0 \end{pmatrix}.$$

El polinomio característico es $(\lambda^6 - 1)^2$, por tanto, el logaritmo de su radio espectral, **la entropía**, es cero.

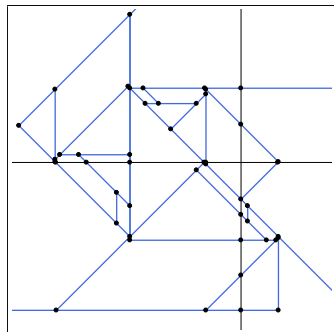
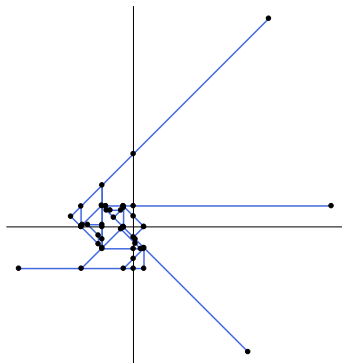
Para $-7/9 < b \leq -3/4$ como mínimo tenemos:



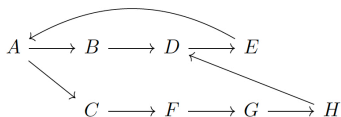
$$M(F, \mathcal{P}) = \begin{pmatrix} 0 & 0 & 0 & 0 & 0 & 0 & 0 & 0 & 0 & 0 & 1 & 1 & 0 \\ 0 & 0 & 0 & 0 & 0 & 0 & 0 & 0 & 0 & 0 & 0 & 0 & 1 \\ 1 & 0 & 0 & 0 & 0 & 0 & 0 & 0 & 0 & 0 & 0 & 0 & 0 \\ 0 & 1 & 0 & 0 & 0 & 0 & 0 & 0 & 0 & 0 & 0 & 0 & 0 \\ 0 & 0 & 1 & 0 & 0 & 0 & 0 & 0 & 0 & 0 & 0 & 0 & 0 \\ 0 & 0 & 0 & 1 & 0 & 0 & 0 & 0 & 0 & 0 & 0 & 0 & 0 \\ 0 & 0 & 0 & 0 & 1 & 0 & 0 & 0 & 0 & 0 & 0 & 0 & 0 \\ 0 & 0 & 0 & 0 & 0 & 1 & 0 & 0 & 0 & 0 & 0 & 0 & 0 \\ 0 & 0 & 0 & 0 & 0 & 0 & 1 & 0 & 0 & 0 & 0 & 0 & 0 \\ 0 & 0 & 0 & 0 & 0 & 0 & 0 & 1 & 0 & 0 & 0 & 0 & 0 \\ 0 & 0 & 0 & 0 & 0 & 0 & 0 & 0 & 1 & 0 & 0 & 0 & 0 \\ 0 & 0 & 0 & 0 & 0 & 0 & 0 & 0 & 0 & 1 & 1 & 0 & 0 \end{pmatrix}.$$

El polinomio característico es $\lambda^6(\lambda^6 - 2)$. El radio espectral es $r \approx 1,122462048$, por lo tanto

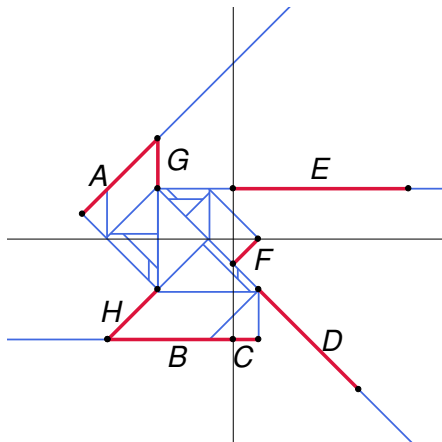
$$h_b(F) \geq \ln(r) \approx 0,1155245298.$$



Para $3/4 < b \leq 154/205$, existe la dinámica parcial

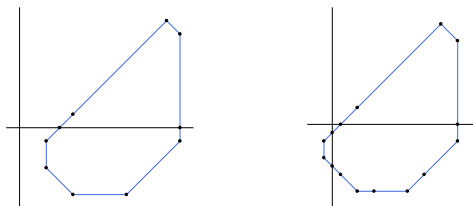


El segmento A se llama una *Roma*: los dos únicos ciclos, $ABDE$ y $ACFGHDE$, pasan por A y que podemos concatenar arbitrariamente y de forma indefinida. La entropía es positiva.



Qué tenemos en los casos de **entropía cero**?

1. En la mayoría de casos observamos **OP repulsoras y dinámica pre-periódica en un número finito de iterados**.
2. Para $b \leq -1$ el grafo Γ es un círculo topológico \Rightarrow su dinámica queda caracterizada por el *número de rotación*.



Número de rotación

Dado un homeo g de grado 1 de \mathbb{S}^1 , y $G : \mathbb{R} \rightarrow \mathbb{R}$ su elevación a \mathbb{R} . Llamamos *numero de rotación de g* al límite

$$\lim_{n \rightarrow \infty} \frac{G^n(x) - x}{n} \pmod{\mathbb{Z}},$$

que existe y es independiente de $x \in \mathbb{R}$ y de la elevación.

Rotaciones

Dado un homeo g de grado 1 de \mathbb{S}^1 :

- (a) g tiene órbitas periódicas si y solo si $\rho(g) \in \mathbb{Q}$.
- (b) Si $\rho(g) = p/q$ con $(p, q) = 1$ todas las órbitas periódicas de g tienen período q .
- (c) Si $\rho(g) \in \mathbb{R} \setminus \mathbb{Q}$ entonces el ω -límite es el mismo para todo punto y , o bien es \mathbb{S}^1 o un conjunto de Cantor.

Proposición (resumen)

- (a) Si $b \leq -15/8$, entonces $\rho = 1/7$. Existe un PF y dos OP_7 explícitas. Toda órbita alcanza alguna de esas órbitas en un número finito de iterados.
- (b) Si $-15/8 \leq b \leq -7/4$. ρ varía continuamente de $1/7$ a $1/6$.
 - Para los valores irracionales hay un PF y el ω -límite de los otros puntos es un subconjunto mínimo cerrado de Γ .
 - Para los valores racionales $\rho = p/q$, existen dos OP q -periódicas o bien una órbita doble. El conjunto de periodos es 19,20,25,26,27,31,32,33,34,37,38,39, 40,41 y $q \in \mathbb{N}$, $q \geq 43$.
- (c) Si $-7/4 \leq b \leq -1$, entonces $\rho = 1/6$. Existe un PF y dos OP_6 explícitas. Toda órbita alcanza alguna de esas órbitas en un número finito de iterados.

Qué tenemos en los casos de **Entropía positiva**?

Cuando la entropía topológica es positiva, $F|_I$ tiene órbitas periódicas con infinitos periodos diferentes y las órbitas tienen diferentes comportamientos combinatorios.

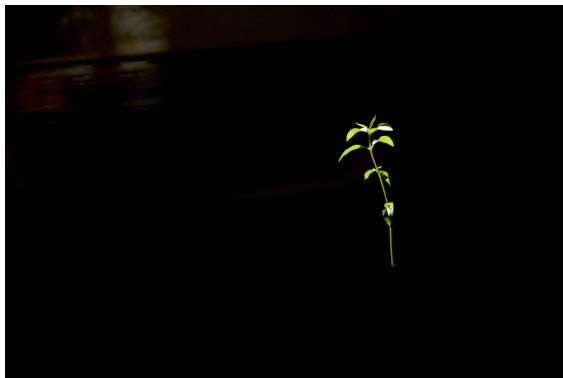
Caos de Li y Yorke

Se dice que f es **caótica en el sentido de Li y Yorke** si tiene puntos periódicos con períodos arbitrariamente grandes y existen un conjunto **no numerable S (*scrambled set*)**, de modo que para cualquier $p, q \in S$ y cada punto periódico r de f tenemos

- (a) $\limsup_{n \rightarrow \infty} |f^n(p) - f^n(q)| > 0$,
- (b) $\liminf_{n \rightarrow \infty} |f^n(p) - f^n(q)| = 0$,
- (c) $\limsup_{n \rightarrow \infty} |f^n(p) - f^n(r)| > 0$.

Usando las ideas del libro de **Alsedà, Llibre y Misiurewicz** se puede demostrar que cuando $F|_I$ tiene entropía positiva es caótica en el sentido de Li y Yorke.

Muchas gracias.



Mi mesa de trabajo en enero del año pasado: a modo de deseo para todos nosotros.

Felicitats, Jaume!